

Министерство образования и науки Российской Федерации  
Федеральное государственное автономное образовательное учреждение высшего образования

**САНКТ-ПЕТЕРБУРГСКИЙ НАЦИОНАЛЬНЫЙ ИССЛЕДОВАТЕЛЬСКИЙ  
УНИВЕРСИТЕТ ИНФОРМАЦИОННЫХ ТЕХНОЛОГИЙ, МЕХАНИКИ И ОПТИКИ**

Факультет систем управления и робототехники

**Отчет по лабораторной работе №9**  
**«Регуляторы с заданной степенью устойчивости»**  
**по дисциплине «Теория автоматического управления»**

Выполнил: студент гр. R3238,

Кирбаба Д.Д.

Преподаватель: Перегудин А.А.,

ассистент фак. СУиР

## Цель работы

Построение регуляторов с заданной степенью устойчивости с ограничением на управление и наблюдателей с заданной степенью сходимости

## Начальные данные

3 вариант

Исходные данные для задания 1:

$$A = \begin{bmatrix} -3 & 0 & 0 & 0 \\ 0 & 3 & 0 & 0 \\ 0 & 0 & 3 & 3 \\ 0 & 0 & -3 & 3 \end{bmatrix}, \quad B = \begin{bmatrix} 0 \\ 7 \\ 0 \\ 1 \end{bmatrix}$$

Исходные данные для задания 3:

$$A = \begin{bmatrix} 0 & 5 & 0 & 0 \\ -5 & 0 & 0 & 0 \\ 0 & 0 & 0 & 1 \\ 0 & 0 & -1 & 0 \end{bmatrix}, \quad C^T = \begin{bmatrix} 0 \\ 9 \\ 1 \\ 0 \end{bmatrix}$$

Исходные данные для задания 4:

$$A = \begin{bmatrix} 5 & -7 & -5 & 1 \\ -7 & 5 & -1 & 5 \\ -5 & -1 & 5 & 7 \\ 1 & 5 & 7 & 5 \end{bmatrix}, \quad B = \begin{bmatrix} 5 \\ 7 \\ 1 \\ 9 \end{bmatrix}, \quad C = \begin{bmatrix} 0 & 0 & 2 & 2 \\ 1 & 1 & -1 & 1 \end{bmatrix}$$

## Выполнение работы

### Задание 1.

#### 1.1. Схема моделирования системы с регулятором

Рассматриваемая система с регулятором:

$$\dot{x} = \begin{bmatrix} -3 & 0 & 0 & 0 \\ 0 & 3 & 0 & 0 \\ 0 & 0 & 3 & 3 \\ 0 & 0 & -3 & 3 \end{bmatrix} x + \begin{bmatrix} 0 \\ 7 \\ 0 \\ 1 \end{bmatrix} u, \quad u = Kx$$

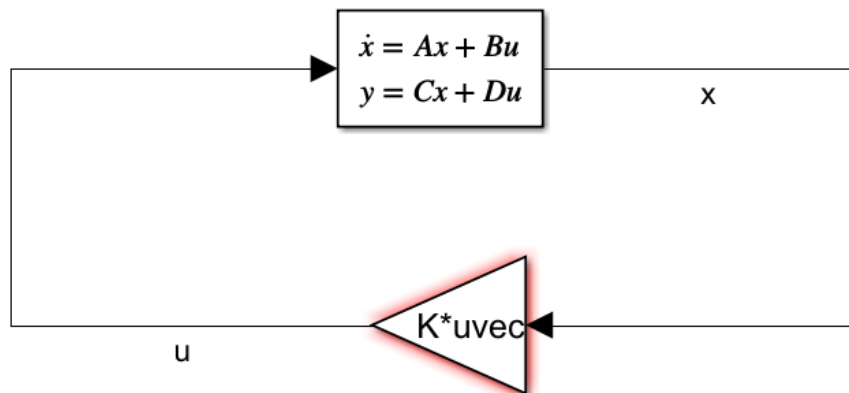


Рисунок 1: схема моделирования замкнутой системы с регулятором

## 1.2. Регуляторы с различными значениями степени устойчивости $\alpha$

Неравенства для синтеза регулятора:

$$P > 0, \quad PA^T + AP + 2\alpha P + Y^T B^T + BY < 0, \quad K = YP^{-1}$$

Программный код:

```
% plant parameters
A = [-3 0 0 0; 0 3 0 0; 0 0 3 3; 0 0 -3 3];
B = [0; 7; 0; 1];

% desired decay rates
alpha = 0.5;

% solving LMI
cvx_begin sdp
variable P(4,4)
variable Y(1,4)
P > 0.00001*eye(4);
P*A' + A*P + 2*alpha*P + Y'*B' + B*Y <= 0;
cvx_end

% finding controller matrix
K = Y*inv(P)

% finding eigenvalues
eig(A + B*K)
```

$$\alpha = 0.5 \Rightarrow K = [0 \quad -12.4494 \quad -75.4453 \quad 63.1168] \Rightarrow \sigma(A + BK) = \{-5.8121 \pm 6.6934i, -3.4049, -3\}$$

$$\alpha = 1.5 \Rightarrow K = [0 \quad -42.2752 \quad -204.82 \quad 244.0828] \Rightarrow \sigma(A + BK) = \{-4.4691 \pm 4.0473i, -33.9052, -3\}$$

$$\alpha = 3 \Rightarrow K = [0 \quad -50.4259 \quad -216.3537 \quad 312.1883] \Rightarrow \sigma(A + BK) = \{-13.3683 \pm 11.2425i, -5.0566, -3\}$$

Во всех спектрах присутствует неуправляемое число  $\lambda = -3$ .

## 1.3. Моделирование работы найденных регуляторов

Начальные условия:  $x(0) = \begin{bmatrix} -3 \\ 17 \\ 2 \\ -8 \end{bmatrix}$

Сравнительные графики  $x(t)$ :

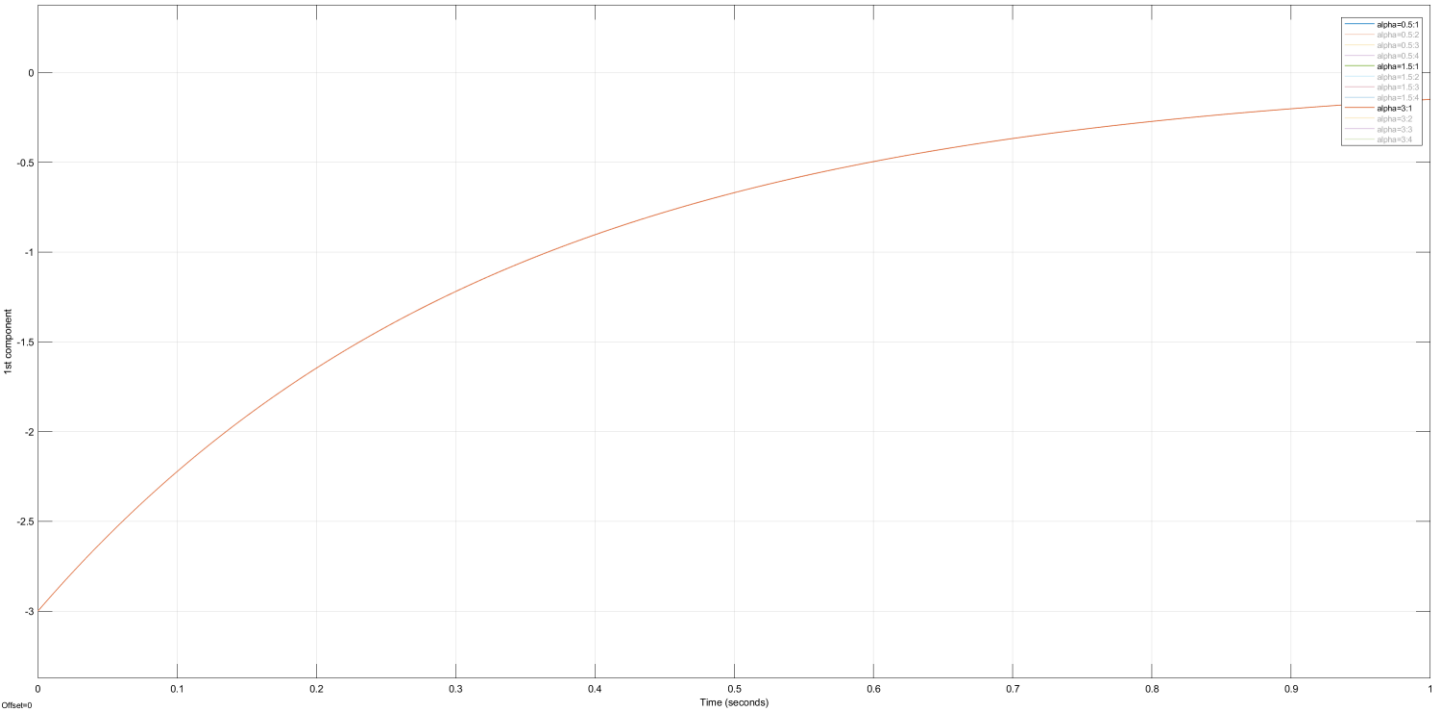


Рисунок 2: графики первых компонент

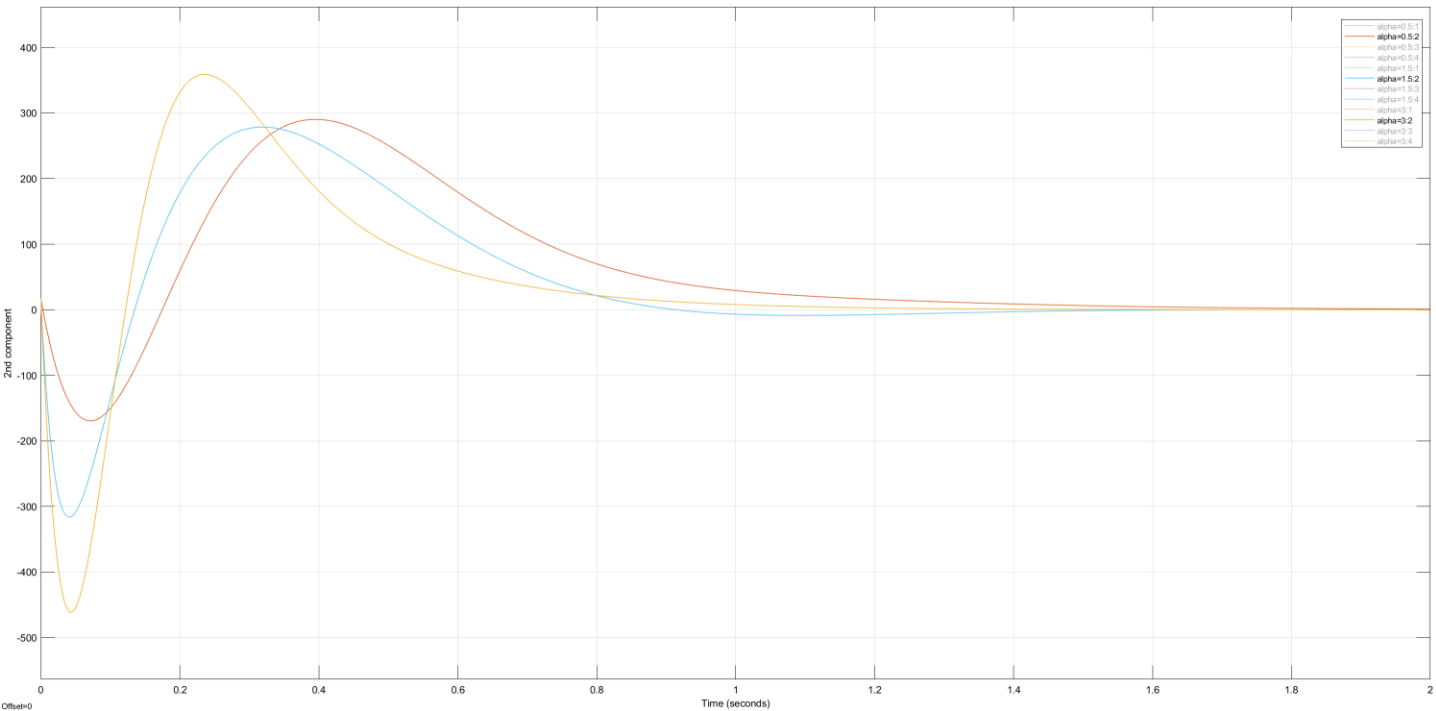


Рисунок 3: графики вторых компонент

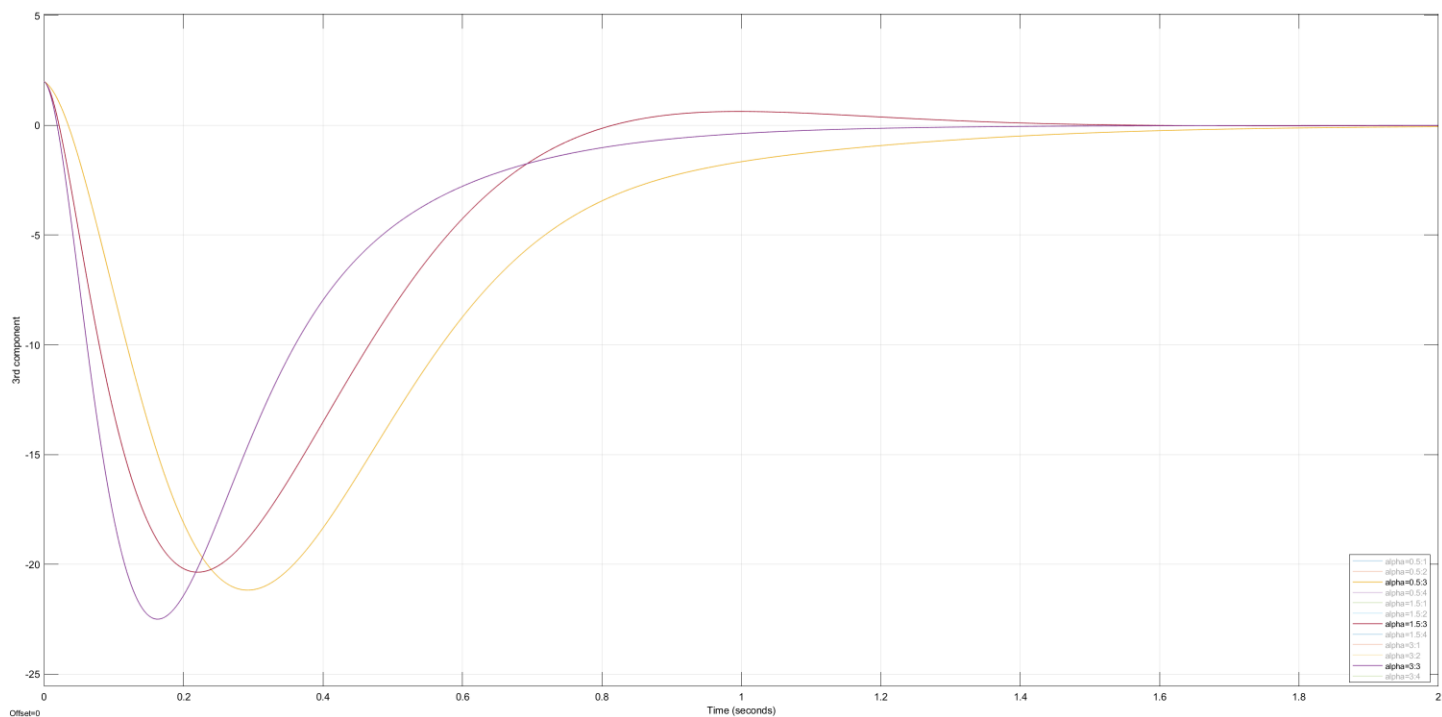


Рисунок 4: графики третьих компонент

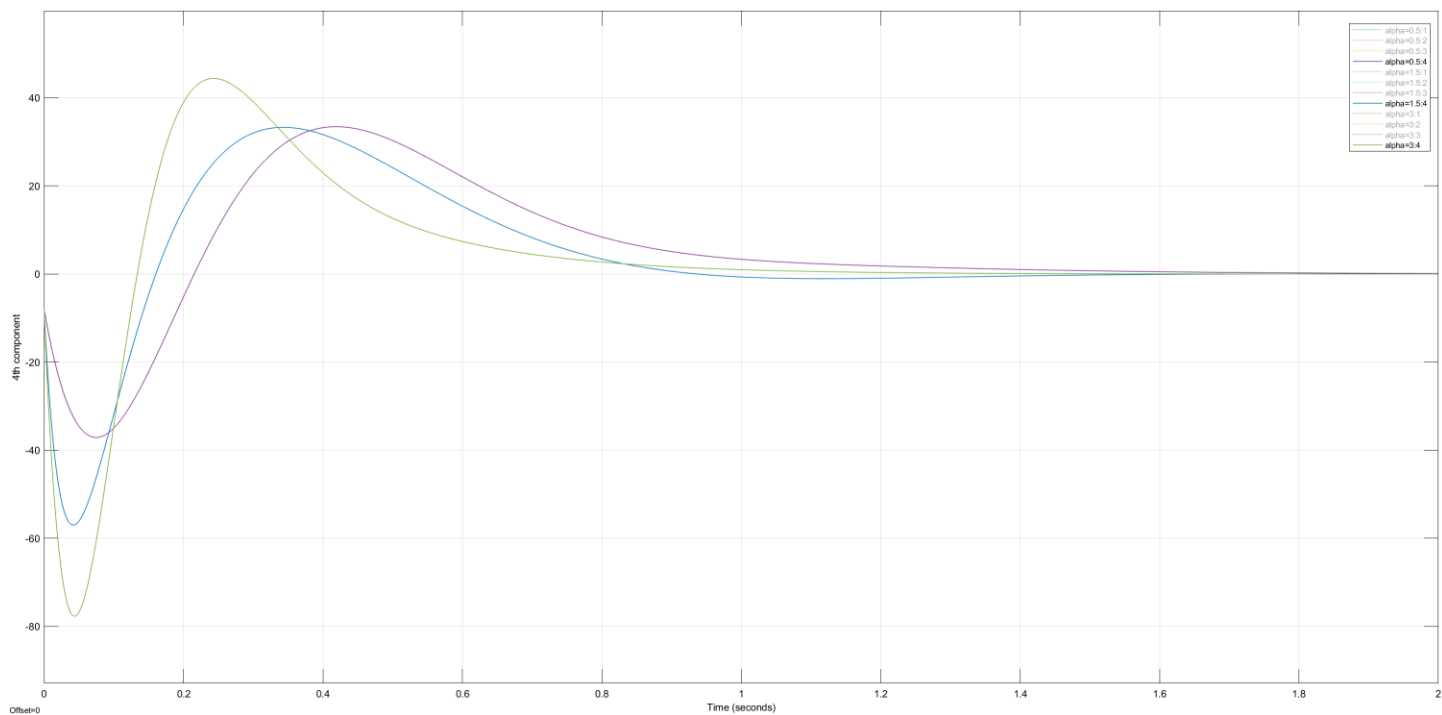


Рисунок 5: графики четвертых компонент

## Сравнительные графики $u(t)$ :

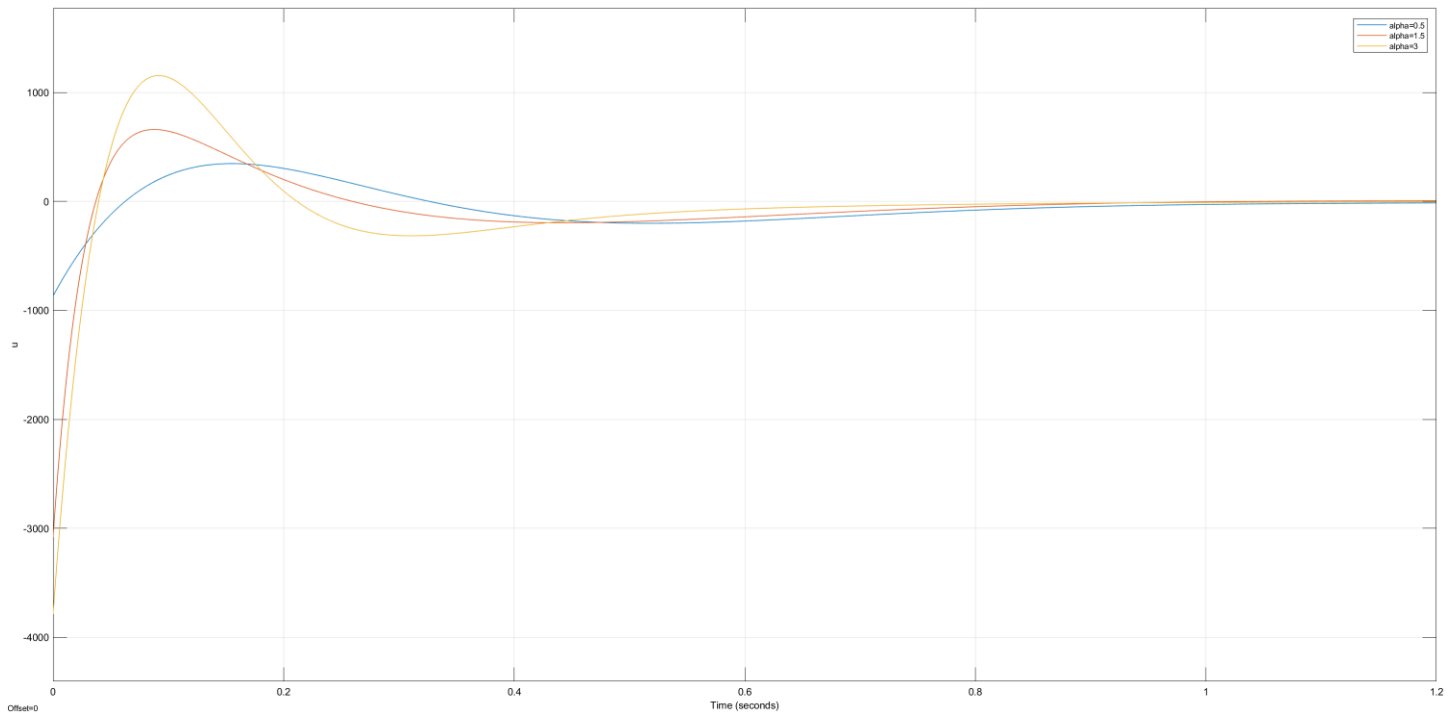


Рисунок 6: графики входного воздействия

Так как при решении матричных неравенств мы можем получить бесконечно много решений, значит и матриц  $K$ , удовлетворяющих неравенствам тоже бесконечное количество. Следовательно, элементы матрицы регулятора и собственные числа замкнутой системы могут быть как больше, так и меньше соответствующих значений при других степенях устойчивости.

Ведь выбирая степень устойчивости, мы только ограничиваем сверху  $\|x(t)\|$ , на самом же деле может быть более сильная сходимость.

В конкретно нашем случае, мы видим, что при бóльших коэффициентах  $\alpha$  замкнутая система быстрее сходится (т. е. «устойчивее»), однако имеет большие коэффициенты входного воздействия, из-за чего при малых  $t$  появляется перерегулирование. Чем быстрее переходный процесс, тем больше необходимо затратить управления.

## Задание 2.

### 2.1. Регулятор с ограничением на величину управляющего воздействия

Пусть  $\alpha = 0.5$ , ограничим управление  $\|u(t)\| \leq \mu$ , начальные условия  $x_0 = x(0) = \begin{bmatrix} -3 \\ 17 \\ 2 \\ -8 \end{bmatrix}$

Неравенства для синтеза регулятора с ограничением на управление:

$$P > 0, \quad PA^T + AP + 2\alpha P + Y^T B^T + BY < 0, \quad K = YP^{-1}$$

$$\begin{bmatrix} P & x_0 \\ x_0^T & 1 \end{bmatrix} > 0, \quad \begin{bmatrix} P & Y^T \\ Y & \mu^2 I \end{bmatrix} > 0$$

## Программный код:

```
% plant parameters
A = [-3 0 0 0; 0 3 0 0; 0 0 3 3; 0 0 -3 3];
B = [0; 7; 0; 1];
x0 = [-3; 17; 2; -8];

% desired decay rates
alpha = 0.5;

% control constraint
mu = 700;

% solving LMI
cvx_begin sdp
variable P(4,4)
variable Y(1,4)
P > 0.00001*eye(4);
P*A' + A*P + 2*alpha*P + Y'*B' + B*Y <= 0;
[P x0; x0' 1] > 0;
[P Y'; Y mu^2] > 0;
cvx_end

% finding controller matrix
K = Y*inv(P)
```

При вариации параметра  $\mu$  были выявлены следующие зависимости:

- С уменьшением  $\mu$  уменьшается  $KK^T$

$\mu$	400	550	700
$KK^T$	255.1447	259.0783	262.0425

- При уменьшении  $\mu$  до конкретного значения степень устойчивости системы стремится к желаемому значению, то есть  $\min |Re(\sigma(A+BK))| \rightarrow \alpha$ .

$\mu$	400	550	700
$\min  Re(\sigma(A+BK)) $	0.5080	0.5208	0.5245

- Так как  $\mu$  является ограничением на величину входного воздействия, то графики  $u(t)$ , как и графики переходного процесса  $x(t)$  при меньшем  $\mu$  будут иметь меньшие максимальные по модулю значения

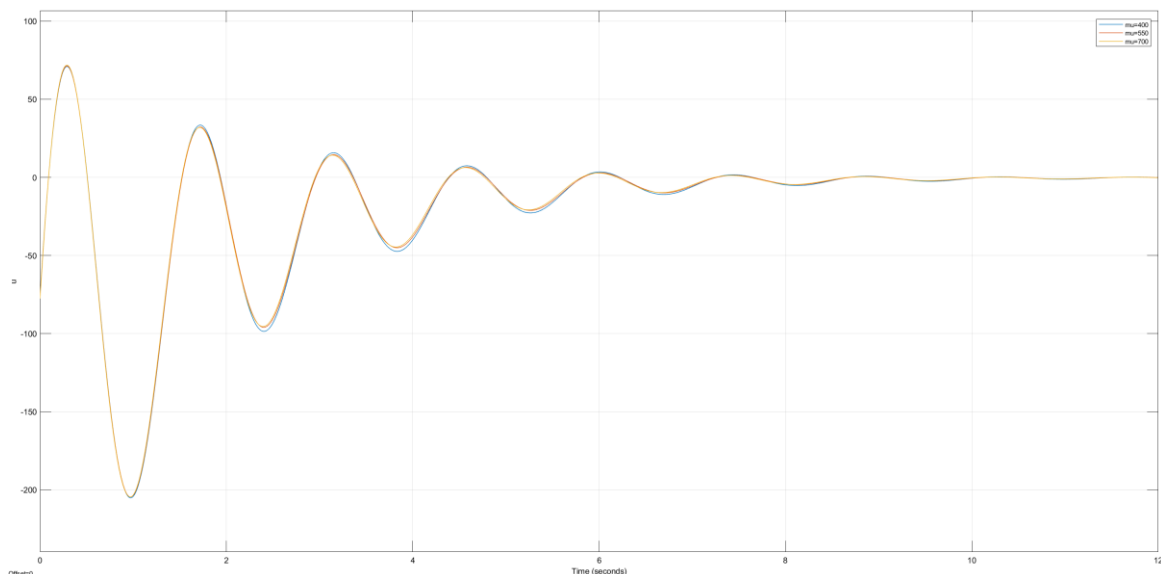


Рисунок 7: графики входного воздействия

## 2.2. Минимизация величины управляющего воздействия

Программный код:

```
% plant parameters
A = [-3 0 0 0; 0 3 0 0; 0 0 3 3; 0 0 -3 3];
B = [0; 7; 0; 1];
x0 = [-3; 17; 2; -8];

% desired decay rates
alpha = 0.5;

% solving LMI
cvx_begin sdp
variable P(4,4)
variable Y(1,4)
variable mumu
minimize mumu
P > 0.00001*eye(4);
P*A' + A*P + 2*alpha*P + Y'*B' + B*Y <= 0;
[P x0; x0' 1] > 0;
[P Y'; Y mumu] > 0;
cvx_end

% finding controller matrix
K = Y*inv(P)
mu = sqrt(mumu)

% finding eigenvalues
eig(A + B*K)
```

$\alpha = 0.5 \Rightarrow K = [-0.0015 \quad -1.8 \quad -16.01 \quad 2.1512] \Rightarrow \sigma(A + BK) = \{-0.5 \pm 4.5035i, -0.5, -3\}$

$\alpha = 1.5 \Rightarrow K = [-0.0022 \quad -3.74 \quad -27.9 \quad 12.66] \Rightarrow \sigma(A + BK) = \{-1.5 \pm 5.6637i, -1.5, -3\}$

$\alpha = 3 \Rightarrow K = [0 \quad -8.66 \quad -51.32 \quad 42.645] \Rightarrow \sigma(A + BK) = \{-3 \pm 7.4140i, -3, -3\}$

Графики переходных процессов:

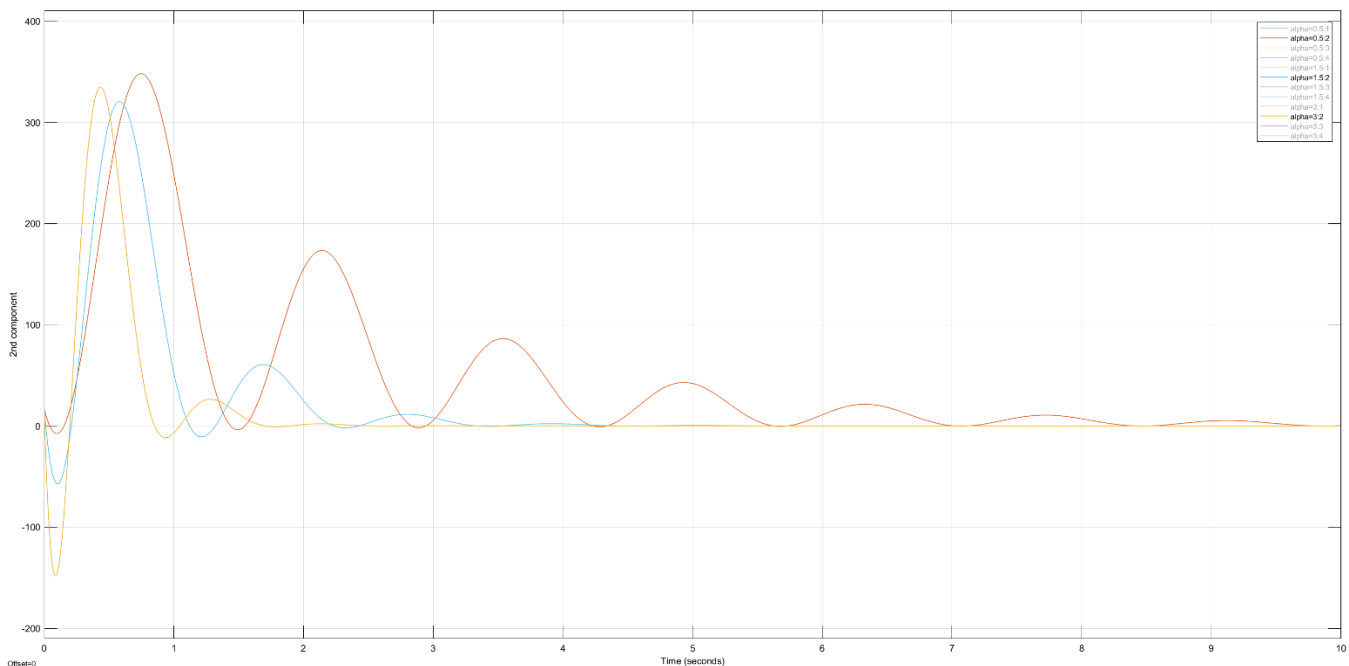


Рисунок 8: графики вторых компонент



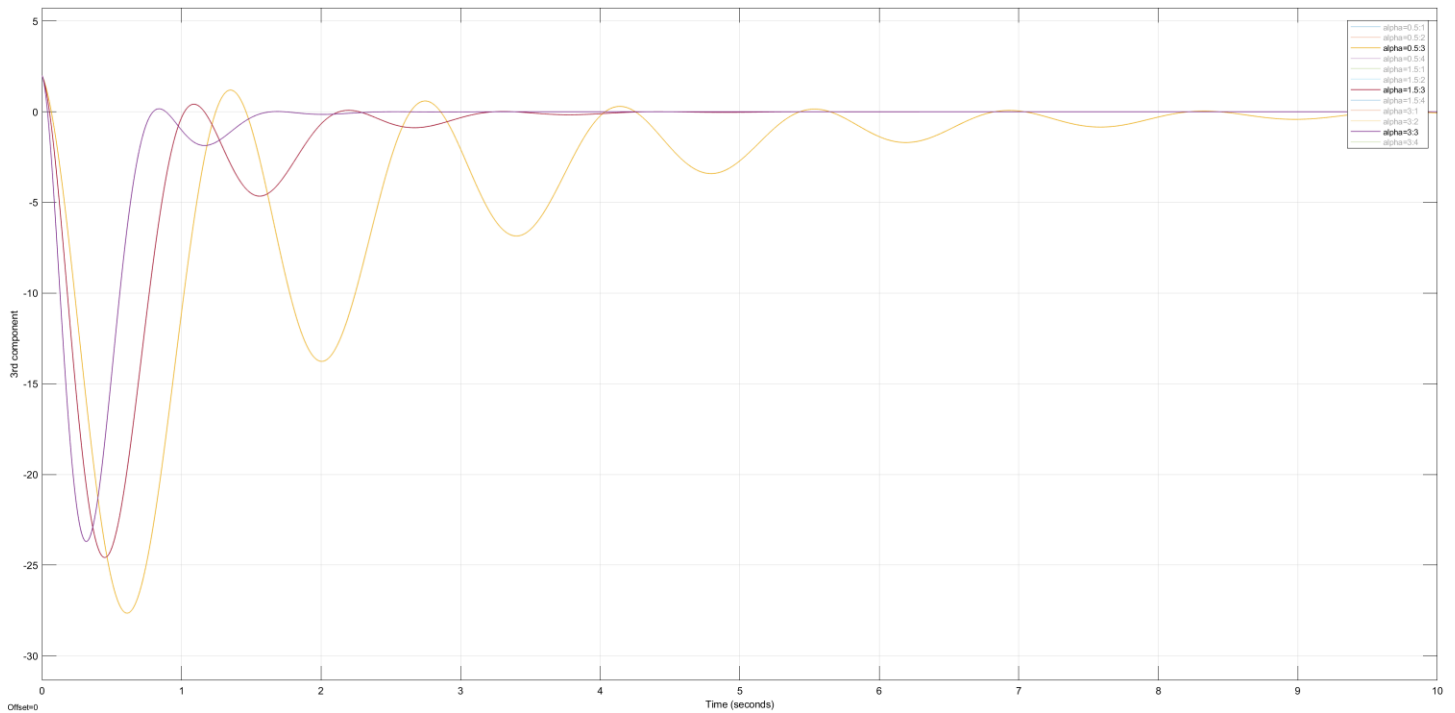


Рисунок 9: графики третьих компонент

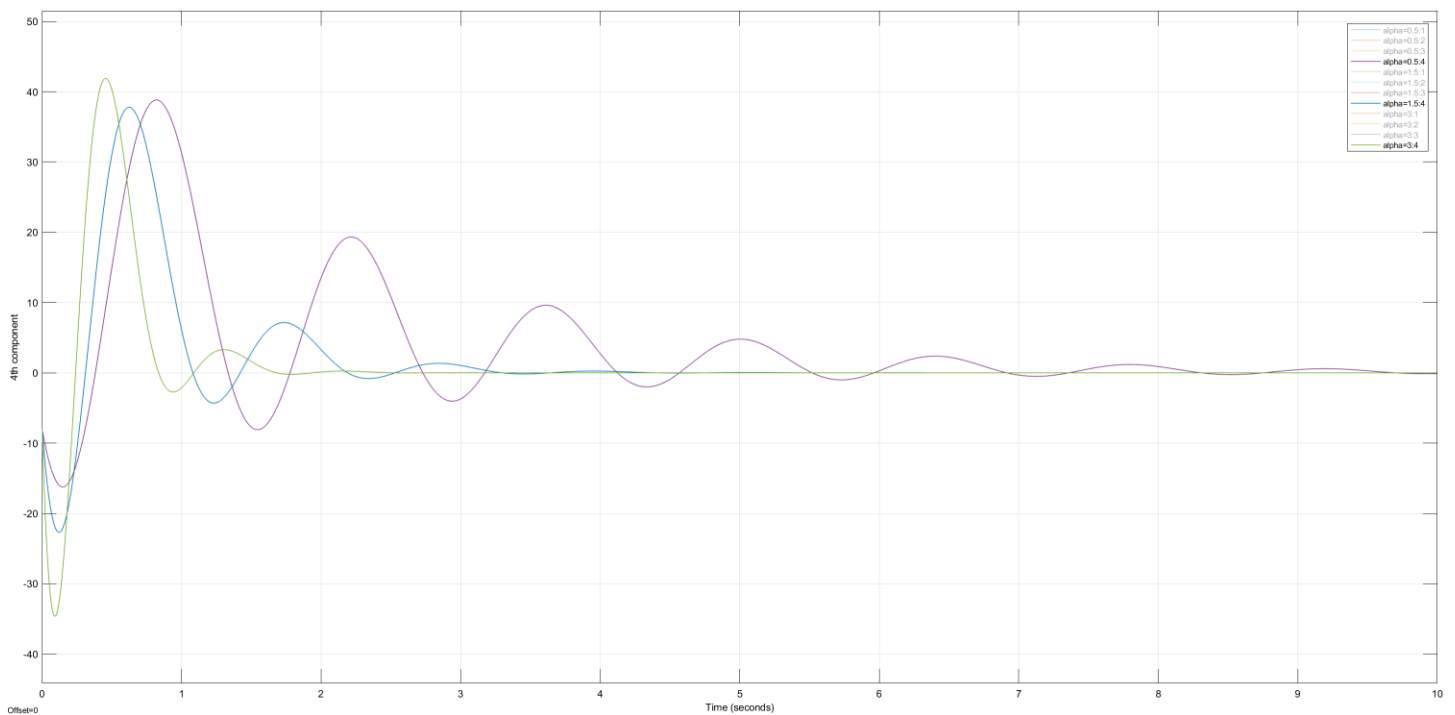


Рисунок 10: графики четвертых компонент

При минимизации входного воздействия точно достигается желаемая степень устойчивости системы. И хотя скорость переходного процесса увеличивается, количество входного воздействия уже не такое огромное, как на предыдущих графиках.

Минимизация может быть очень удобна, так как не все значения  $\mu$  являются реализуемыми.

### Задание 3.

#### 3.1. Схема моделирования системы с наблюдателем состояния

Рассматриваемая система:

$$\dot{x} = \begin{bmatrix} 0 & 5 & 0 & 0 \\ -5 & 0 & 0 & 0 \\ 0 & 0 & 0 & 1 \\ 0 & 0 & -1 & 0 \end{bmatrix} x, \quad y = [0 \quad 9 \quad 1 \quad 0]x$$

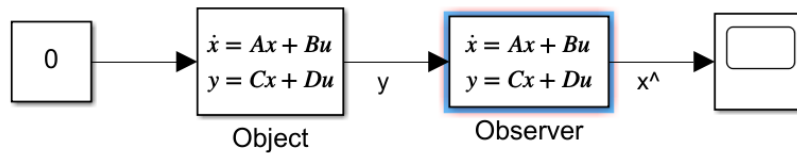


Рисунок 11: схема моделирования системы с наблюдателем

#### 3.2. Расчет наблюдателей с желаемой степенью устойчивости $\alpha$ динамики ошибки наблюдателя

Неравенства для синтеза регулятора:

$$Q > 0, \quad A^T Q + Q A + 2\alpha Q + C^T Y^T + Y C < 0, \quad L = Q^{-1} Y$$

Программный код:

```
% plant parameters
A = [0 5 0 0; -5 0 0 0; 0 0 0 1; 0 0 -1 0];
C = [0 9 1 0];

% desired decay rate
alpha = 0.5;

% solving LMI
cvx_begin sdp
variable Q(4,4)
variable Y(4,1)
Q > 0.00001*eye(4);
A'*Q + Q*A + 2*alpha*Q + C'*Y' + Y*C <= 0;
cvx_end

% finding controller matrix
L = inv(Q)*Y

% finding eigenvalues
eig(A + L*C)
```

$$\alpha = 0.5 \Rightarrow L = \begin{bmatrix} 1.777 \\ 0.0067 \\ -5.8410 \\ -2.4597 \end{bmatrix} \Rightarrow \sigma(A + LC) = \{-2.2017 \pm 9.7912i, -0.6885 \pm 1.0857i\}$$

$$\alpha = 1.5 \Rightarrow L = \begin{bmatrix} 4.7258 \\ 2.6037 \\ -40.3442 \\ -45.4886 \end{bmatrix} \Rightarrow \sigma(A + LC) = \{-6.4528 \pm 13.5921i, -2.0028 \pm 1.4360i\}$$

$$\alpha = 3 \Rightarrow L = \begin{bmatrix} 5 \\ 9.9 \\ -115.75 \\ -225.6841 \end{bmatrix} \Rightarrow \sigma(A + LC) = \{-9.35 \pm 14.9273i, -3.95 \pm 1.8471i\}$$

### 3.3. Моделирование работы найденных наблюдателей

Начальные условия:  $x(0) = \begin{bmatrix} -3 \\ 17 \\ 2 \\ -8 \end{bmatrix}$ ,  $\hat{x}(0) = \begin{bmatrix} 5 \\ 1 \\ -9 \\ 11 \end{bmatrix}$

Сравнительные графики  $x(t)$ ,  $\hat{x}(t)$ :

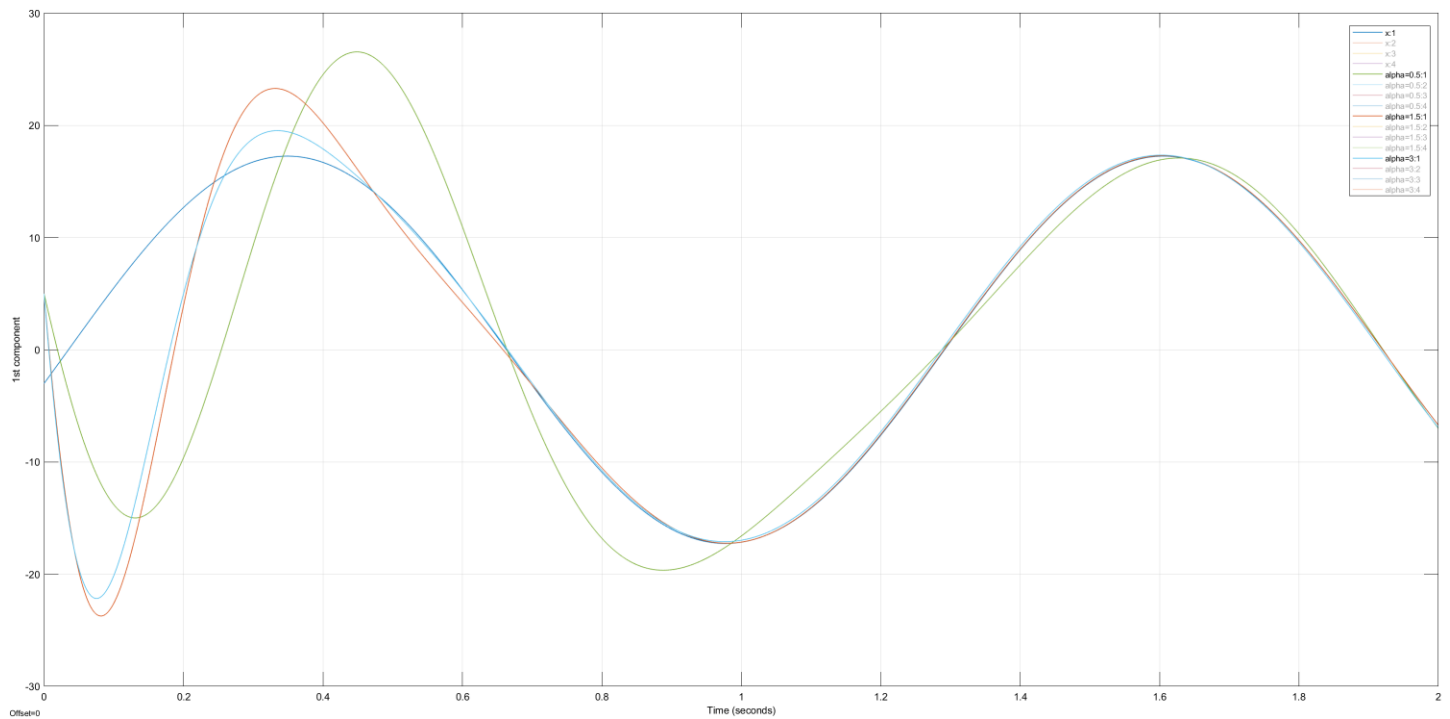


Рисунок 12: графики первых компонент

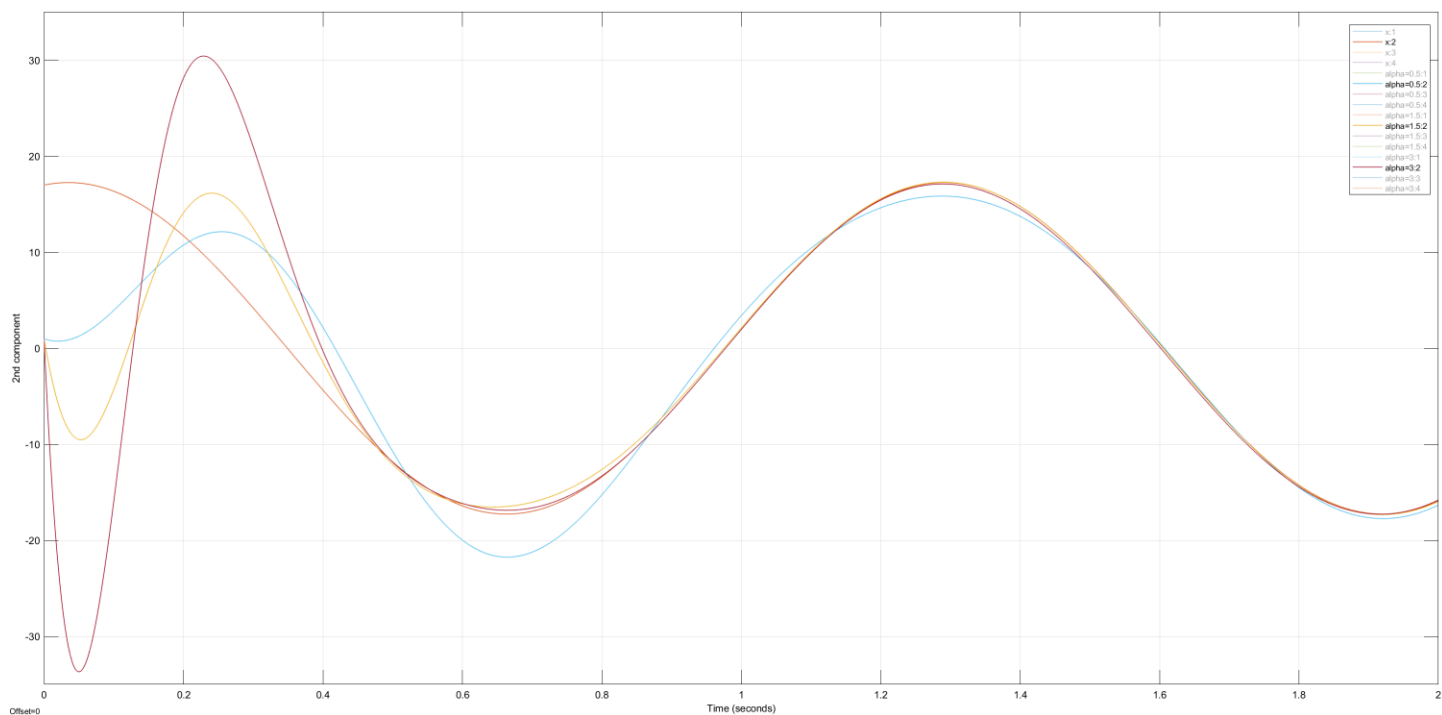


Рисунок 13: график вторых компонент

Сравнительные графики ошибки наблюдателя:

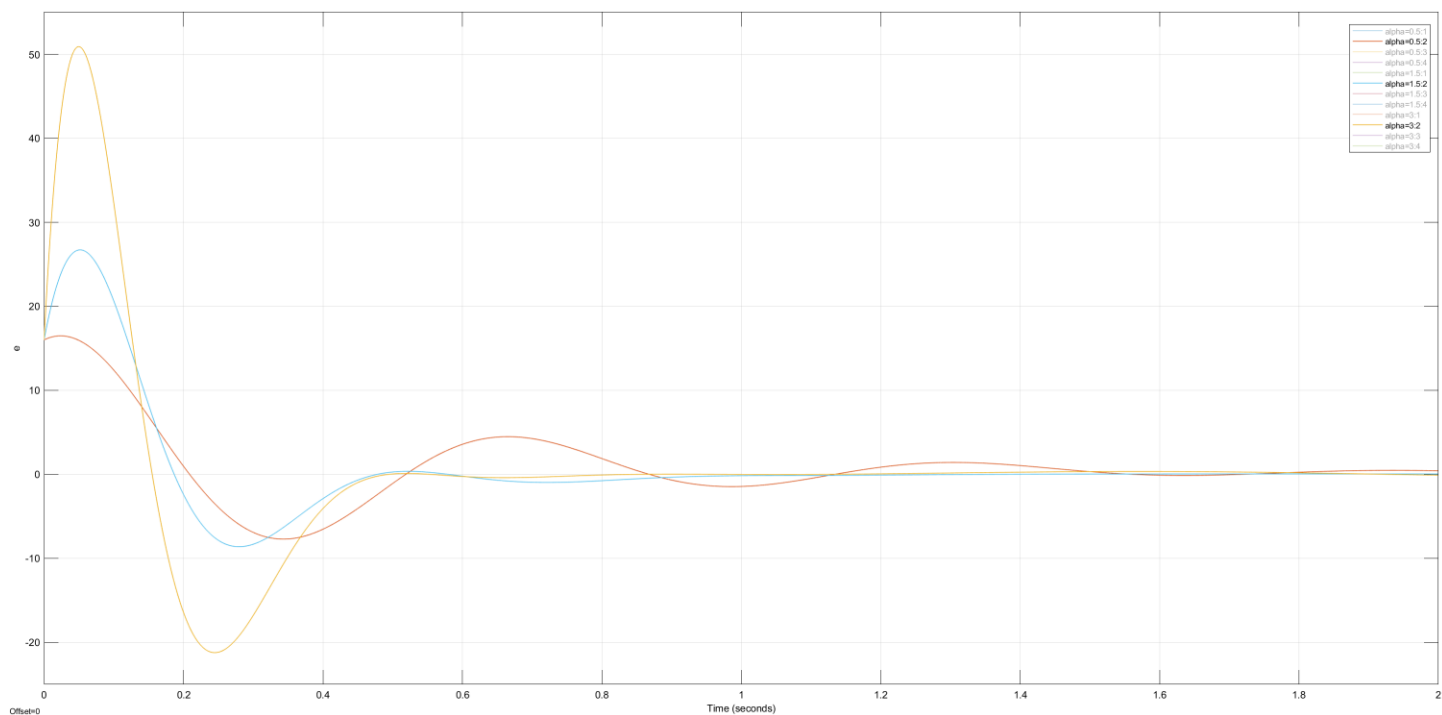


График 14: ошибки наблюдателей по 2 компоненте

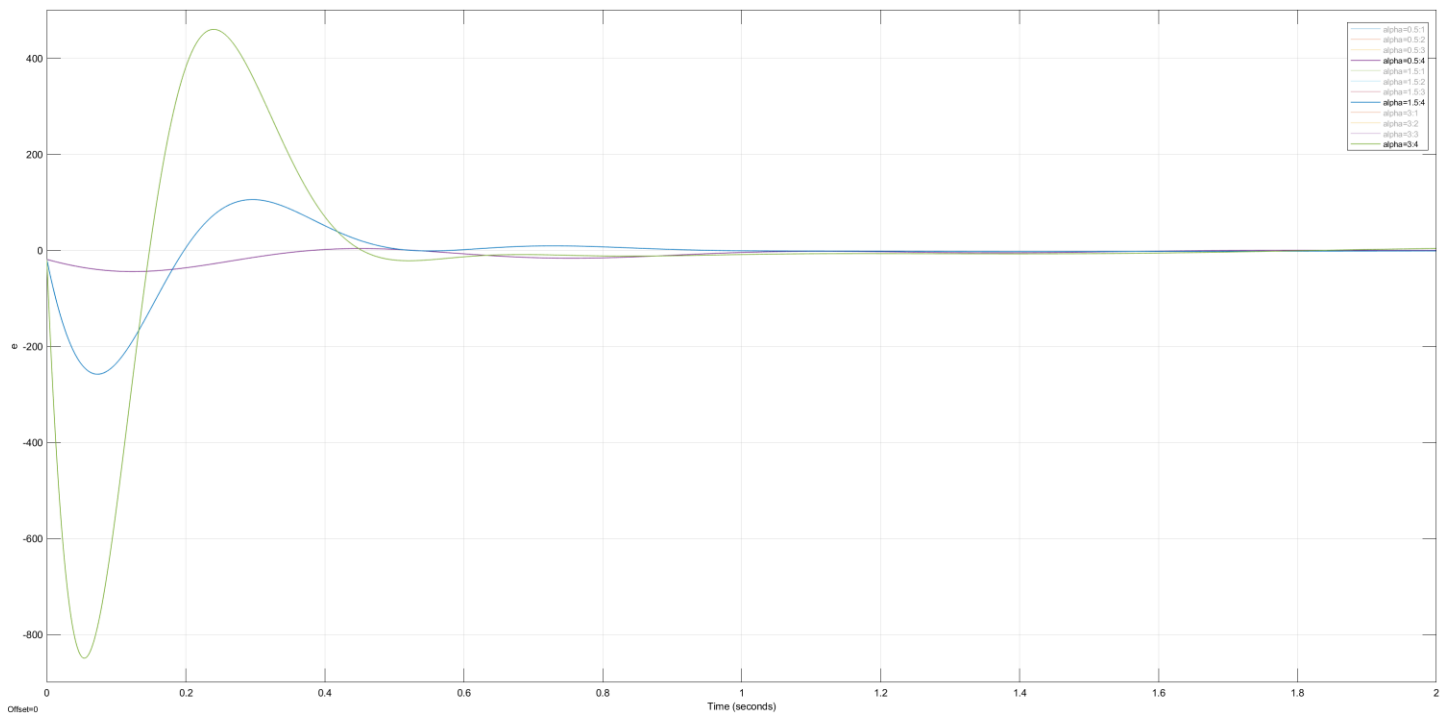


Рисунок 15: ошибки наблюдателей по 4 компоненте

Пронаблюдав графики, можно убедиться в том, что в нашем случае при больших коэффициентах  $\alpha$  вектор состояния наблюдателя сходится к вектору реального состояния объекта быстрее, однако, чем больше степень сходимости, тем большее отклонение в начале.

#### Задание 4.

##### 4.1. Схема моделирования системы

Рассматриваемая система:

$$\begin{cases} \dot{x} = \begin{bmatrix} 5 & -7 & -5 & 1 \\ -7 & 5 & -1 & 5 \\ -5 & -1 & 5 & 7 \\ 1 & 5 & 7 & 5 \end{bmatrix} x + \begin{bmatrix} 5 \\ 7 \\ 1 \\ 9 \end{bmatrix} u \\ y = \begin{bmatrix} 0 & 0 & 2 & 2 \\ 1 & 1 & -1 & 1 \end{bmatrix} x \end{cases}$$

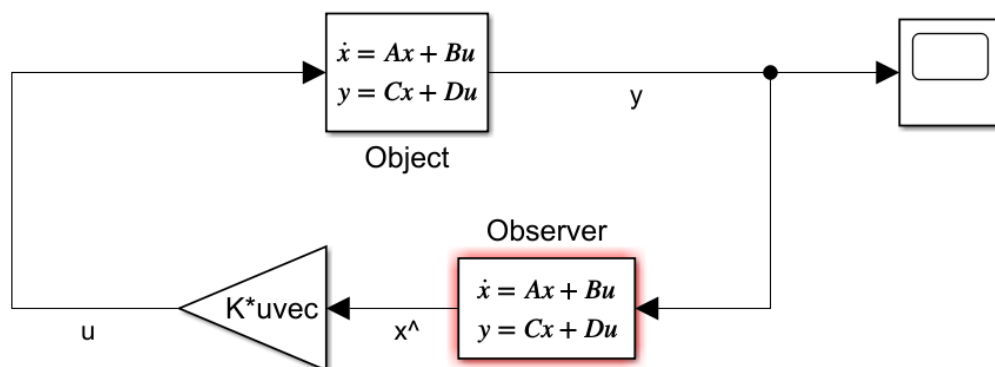


Рисунок 16: схема моделирования замкнутой системы

## 4.2. Синтез регулятора и наблюдателя

Пусть начальные условия:  $x(0) = \begin{bmatrix} 2 \\ 1 \\ 0 \\ -1 \end{bmatrix}$ ,  $\hat{x}(0) = \begin{bmatrix} 5 \\ -1 \\ -8 \\ 12 \end{bmatrix}$ .

Вычислим регулятор со степенью устойчивости  $\alpha_{reg} = 3$  с минимизацией входного воздействия, и наблюдатель со степенью сходимости  $\alpha_{obs} = 1.5$ .

Найдем матрицы  $K$  и  $L$  с помощью решения соответствующих LMI.

$$K = [25.775 \quad -30.65 \quad 9.3 \quad 4.39], \quad \mu = 22.21$$

$$L = \begin{bmatrix} 38.6673 & -1.9882 \\ -38.6673 & -1.9882 \\ -8.8267 & 1.9882 \\ -8.8267 & -1.9882 \end{bmatrix}$$

Собственные числа:

$$\sigma(A + BK) = \{-3.0158, -3 \pm 17i, -2.0201, -7.9\}$$

$$\sigma(A + LC) = \{-3.9527, -5.6533 \pm 17.0598i, -8\}$$

Сравнительные графики  $x(t)$ ,  $\hat{x}(t)$ :

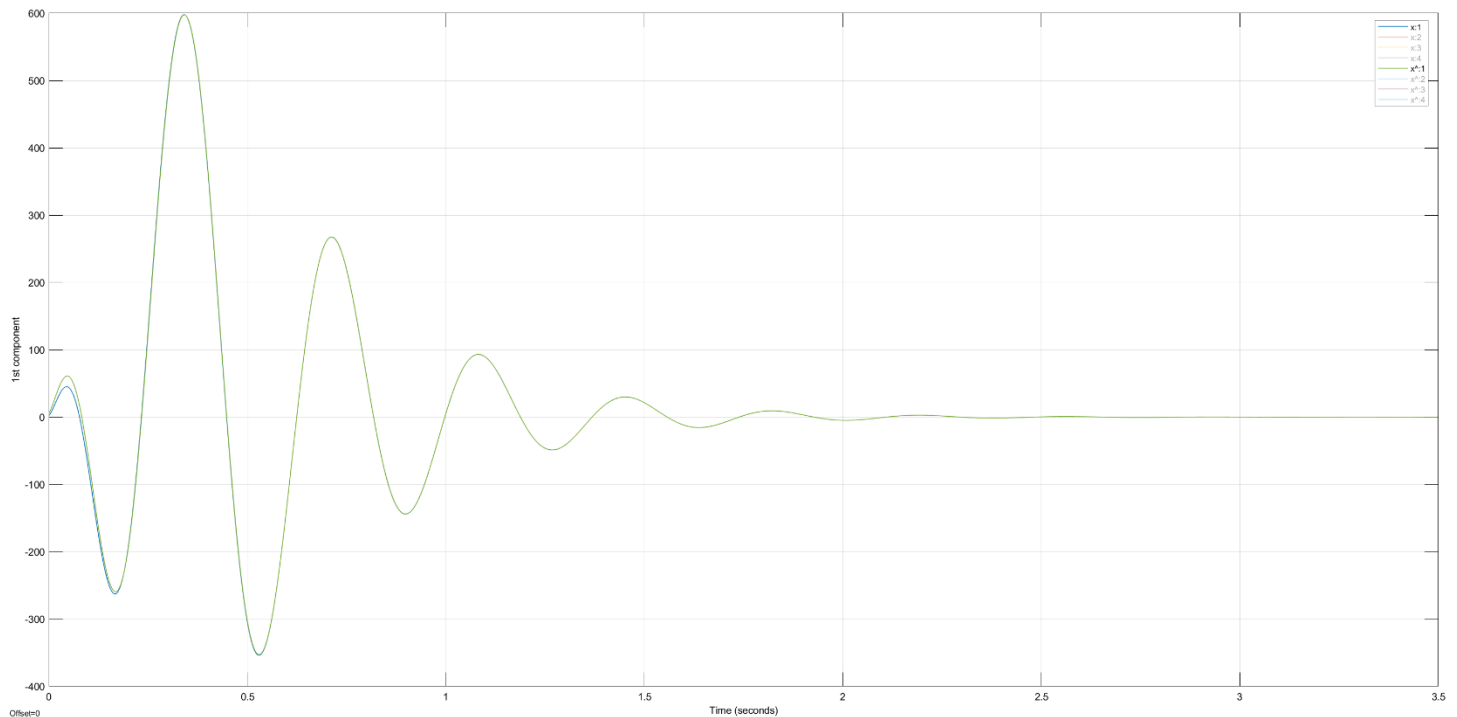


Figure 17: графики первых компонент

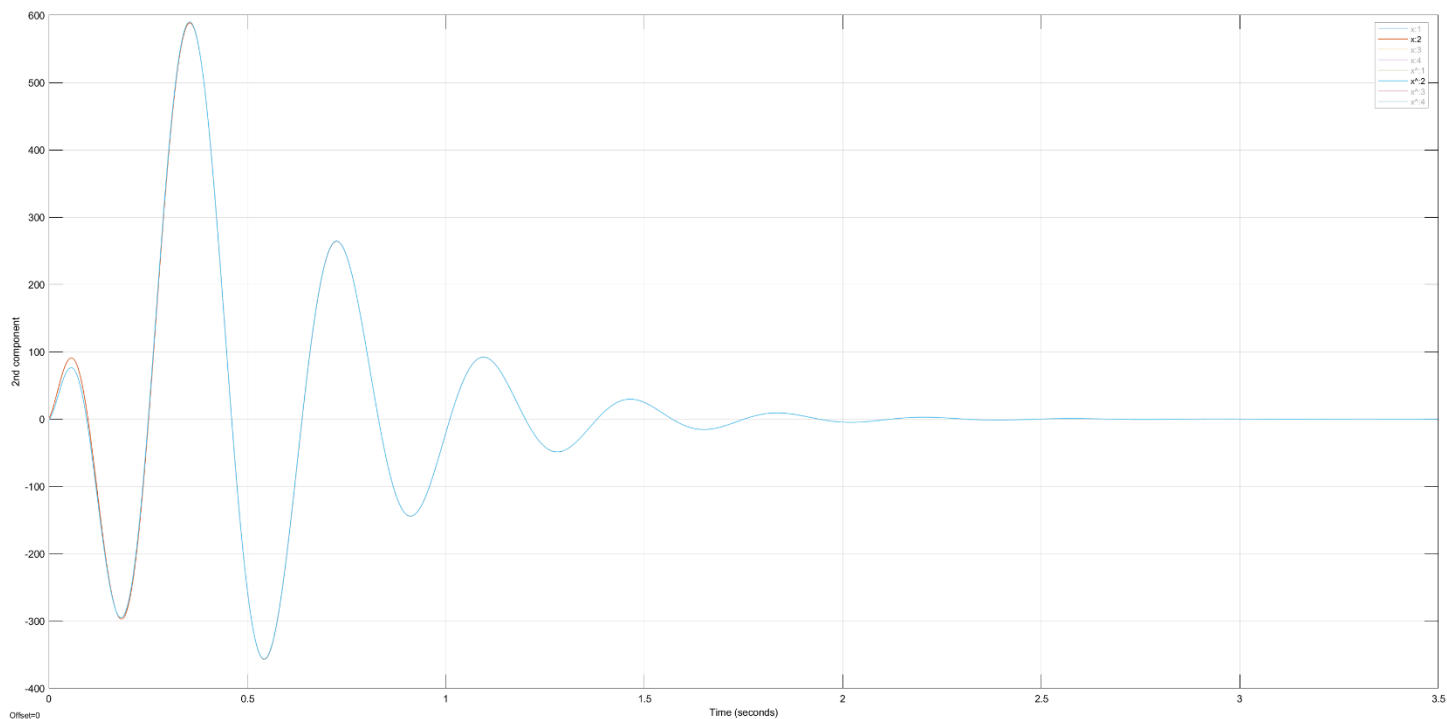


Рисунок 18: графики вторых компонент

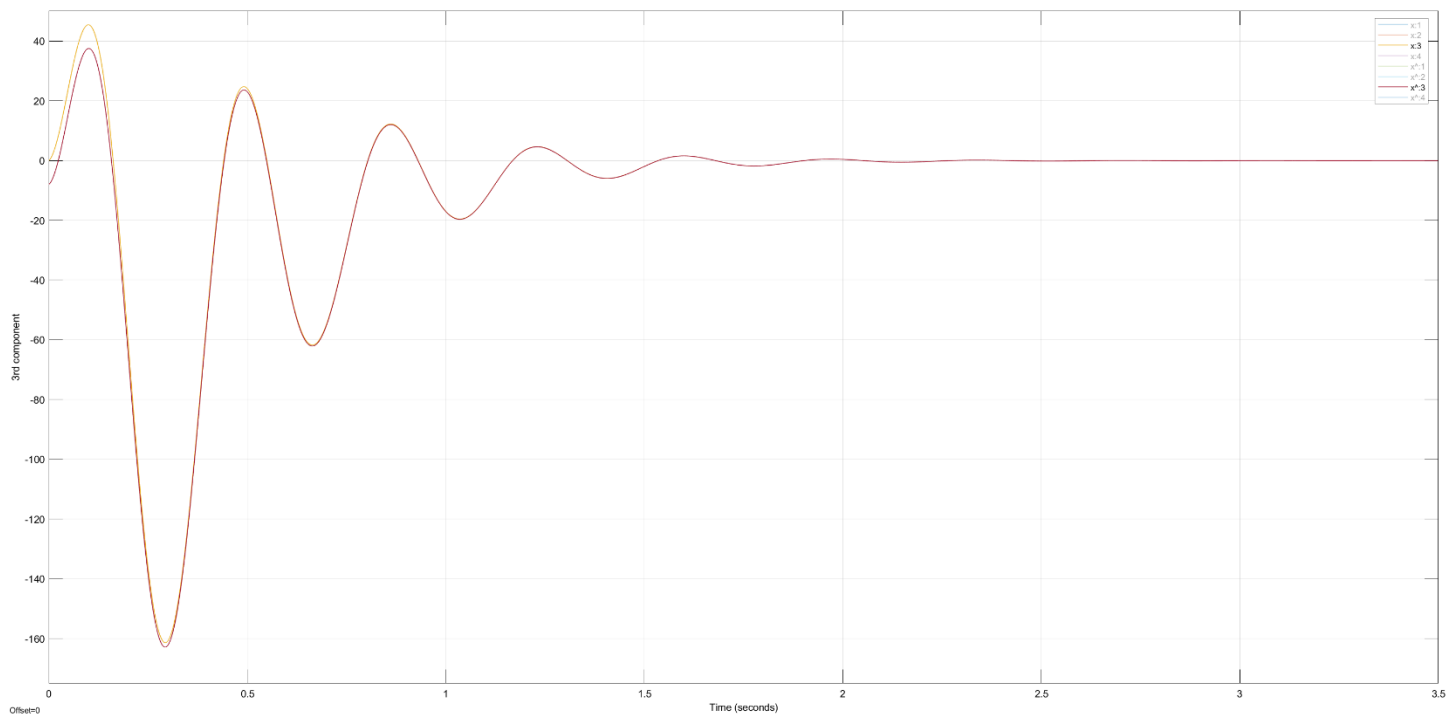


Рисунок 19: графики третьих компонент

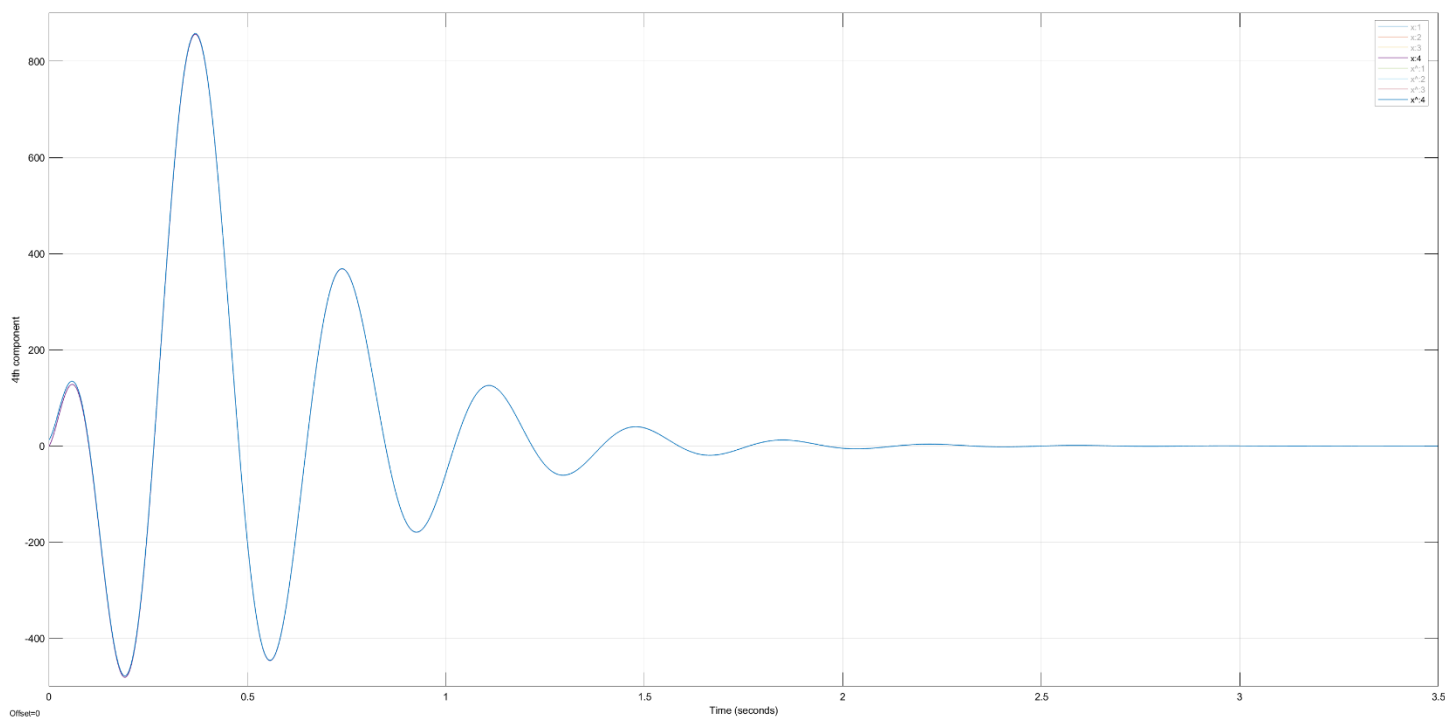


Рисунок 20: графики четвертых компонент

Исходя из графиков, время переходного процесса  $\cong 2$  секунды. Время, за которое оценка вектора состояния совпадает с реальным вектором состояния  $\cong 0.12$  секунд.

График входного воздействия:

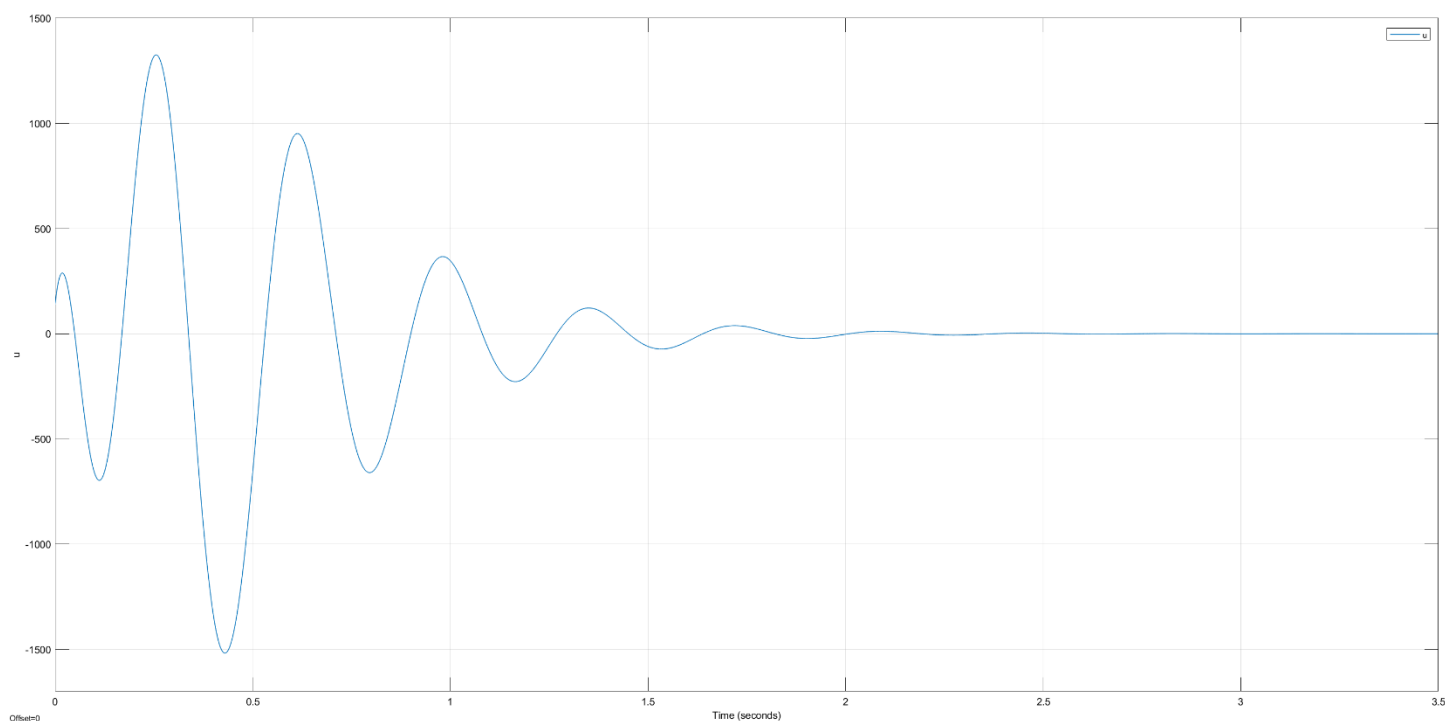


Рисунок 21: входное воздействие



Мы наблюдаем, что входное воздействие сильно превышает найденное нами  $\mu$ , это происходит из-за того, что рассчитанное значение ограничения на входное воздействие соответствует реальному начальному вектору системы  $x(0)$ , а реальное входное воздействие рассчитывается по вектору наблюдателя  $\hat{x}(t)$  и из-за того, что на начальных этапах значение  $\hat{x}(t)$  не совпадает с реальным  $x(t)$  реальное входное воздействие превышает наше ограничение.

Если же сделать начальный вектор наблюдателя равным  $x(0)$ , то найденное ограничение будет соблюдено. Покажем это.

Пусть начальные условия:  $x(0) = \begin{bmatrix} 2 \\ 1 \\ 0 \\ -1 \end{bmatrix} = \hat{x}(0)$ .

Смоделируем систему с теми же параметрами, тогда график входного воздействия:

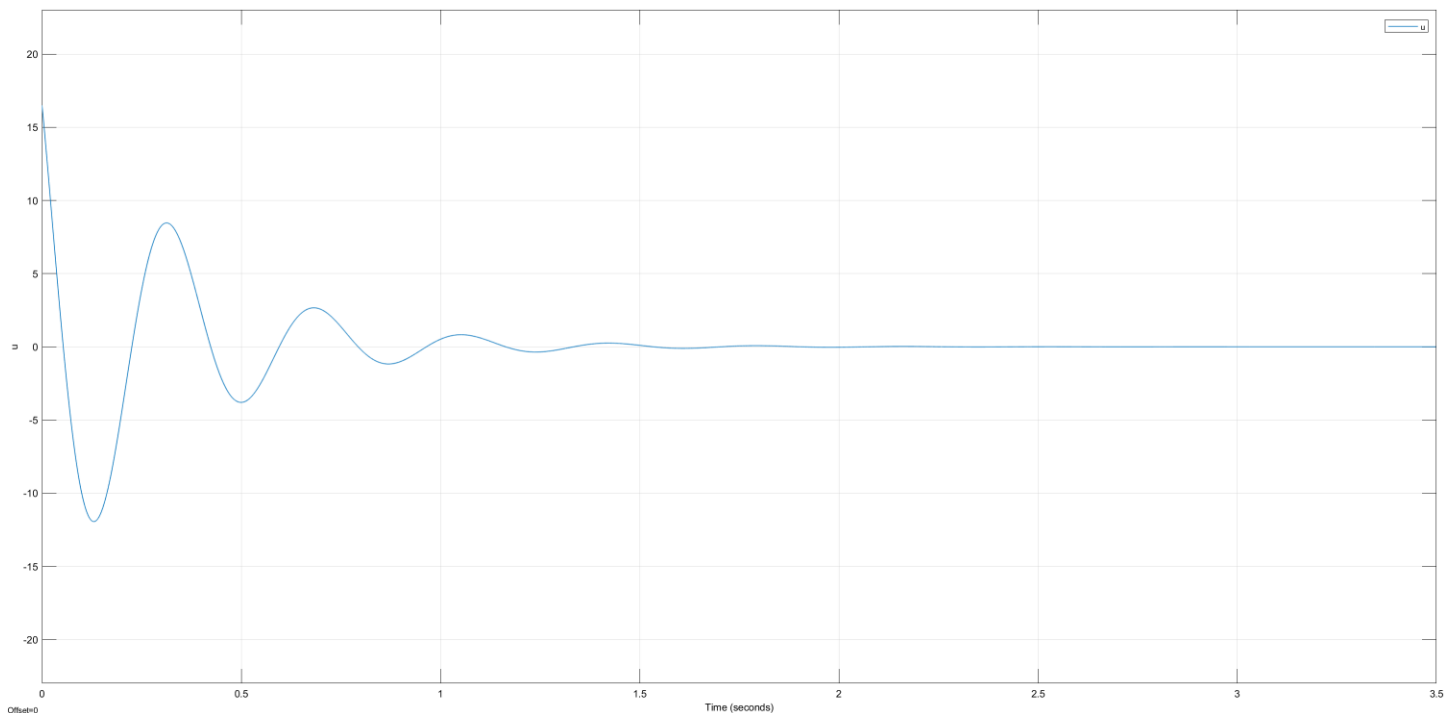


Рисунок 22: входное воздействие при равных н.у.

### Задание 5.

При синтезе регулятора к системе  $\dot{x} = (A + BK)x$  можно было добавить следующее ограничение на управление

$$\|u(t)\| = \|Kx(t)\| \leq \mu, \quad \text{при } x_0 = x(0)$$

По аналогии к системе  $\dot{e} = (A + LC)e$  сделаем такое ограничение на жесткость

$$\|v(t)\| = \|L^T e(t)\| \leq \phi, \quad \text{при } e_0 = e(0)$$

Тогда синтезу наблюдателя будут соответствовать следующие LMI:

$$Q > 0, \quad A^T Q + QA + 2\alpha Q + C^T Y^T + YC < 0, \quad L = Q^{-1}Y$$

$$\begin{bmatrix} Q & e_0 \\ e_0^T & 1 \end{bmatrix} > 0, \quad \begin{bmatrix} Q & Y \\ Y^T & \phi^2 I \end{bmatrix} > 0$$

Добавляемые неравенства можно обосновать так: внутри эллипсоида, содержащего точку  $e_0$  значение количества наблюдения  $\|L^T e(t)\| \leq \phi$ .

Проверим это на простой системе:

$$\dot{x} = \begin{bmatrix} 0 & 1 \\ 0 & 0 \end{bmatrix} x, \quad y = [1 \quad 0]x$$

Построим наблюдатель с  $\alpha = 5$  при начальных условиях:

$$x_0 = x(0) = \begin{bmatrix} 1 \\ 0 \end{bmatrix}, \quad \hat{x}_0 = \hat{x}(0) = \begin{bmatrix} 0 \\ -1 \end{bmatrix}, \quad e_0 = e(0) = x_0 - \hat{x}_0 = \begin{bmatrix} 1 \\ 1 \end{bmatrix}$$

Наблюдатель без ограничений на жесткость

$$L = \begin{bmatrix} -22.2325 \\ -172.4174 \end{bmatrix}, \quad \sigma(A + LC) = \{-11.1163 \pm 6.9890i\}$$

Реальная степень сходимости (11.1163) далеко от желаемой (5).

График вектора ошибки:

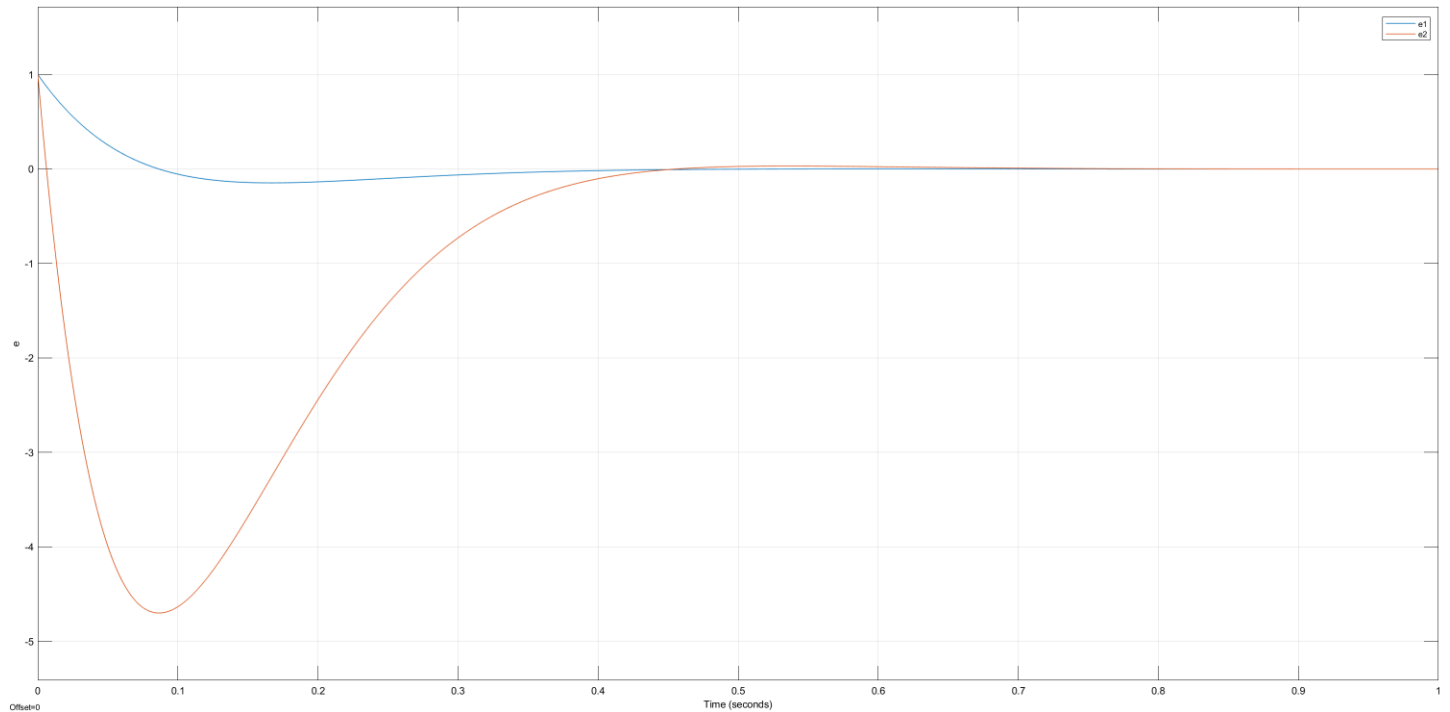


Рисунок 23: графики ошибки наблюдателя без ограничений на жесткость

$$\max(\|e_1(t)\|) \approx 1, \quad \max(\|e_2(t)\|) \approx 4.5$$

График  $L^T e(t)$ :

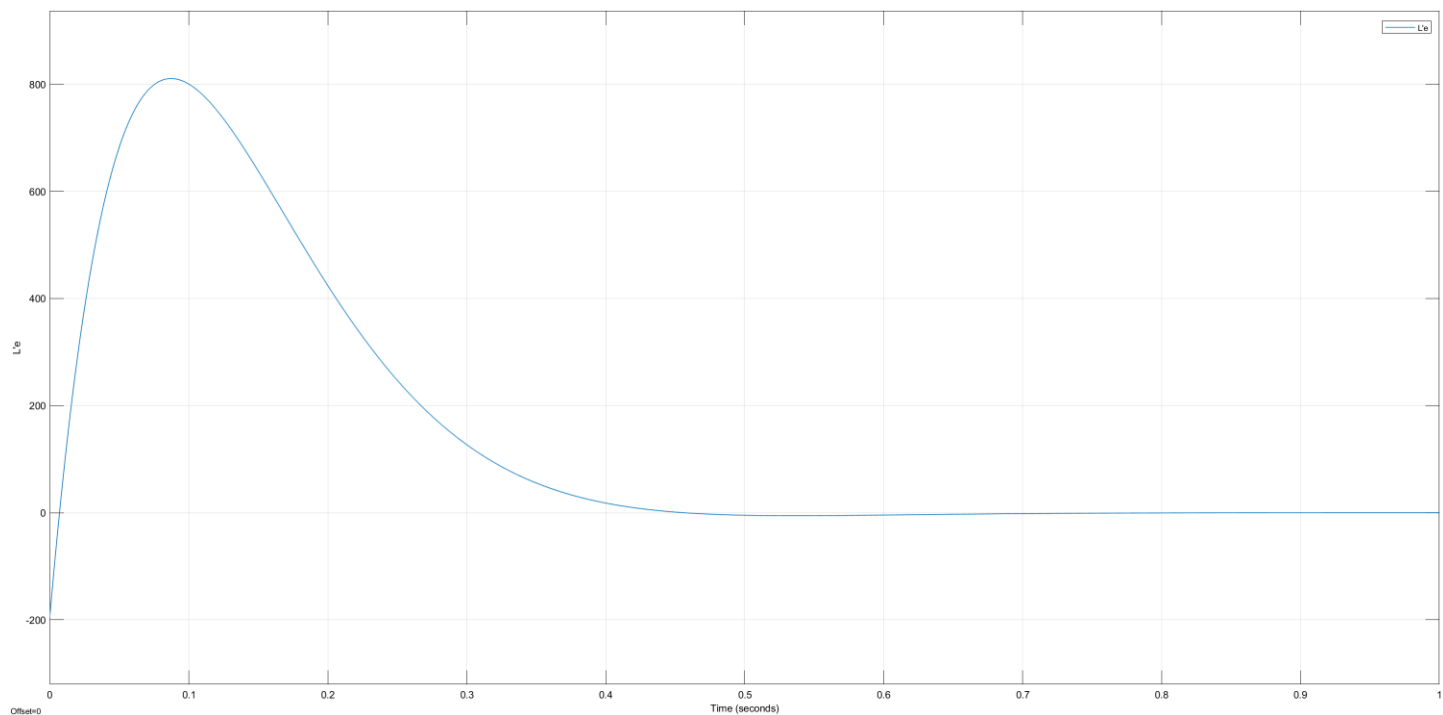


Рисунок 24: график  $L^T e(t)$  без ограничений на жесткость

$$\max (\|L^T e(t)\|) \approx 800$$

Наблюдатель с ограничением на жесткость

Смоделируем ту же систему, только с ограничением  $\|L^T e(t)\| \leq 600$

Программный код:

```

% plant parameters
A = [0 1; 0 0];
C = [1 0];

% initial conditions
x0 = [1; 0];
x0_obs = [0; -1];
e0 = x0-x0_obs;

% observer constraint
mu = 600;

% desired decay rate
alpha = 5;

% solving LMI
cvx_begin sdp
variable Q(2,2)
variable Y(2,1)
Q > 0.00001*eye(2);
A'*Q + Q*A + 2*alpha*Q + C'*Y' + Y*C <= 0;
[Q e0; e0' 1] > 0;
[Q Y; Y' mu^2] > 0;
cvx_end

% finding observer matrix
L = inv(Q)*Y;

```

$$L = \begin{bmatrix} -10.5501 \\ -36.4516 \end{bmatrix}, \quad \sigma(A + LC) = \{-5.2750 \pm 2.9369i\}$$

Реальная степень сходимости стала меньше (5.275), по сравнению с наблюдателем без ограничения (11.1163).

График вектора ошибки:

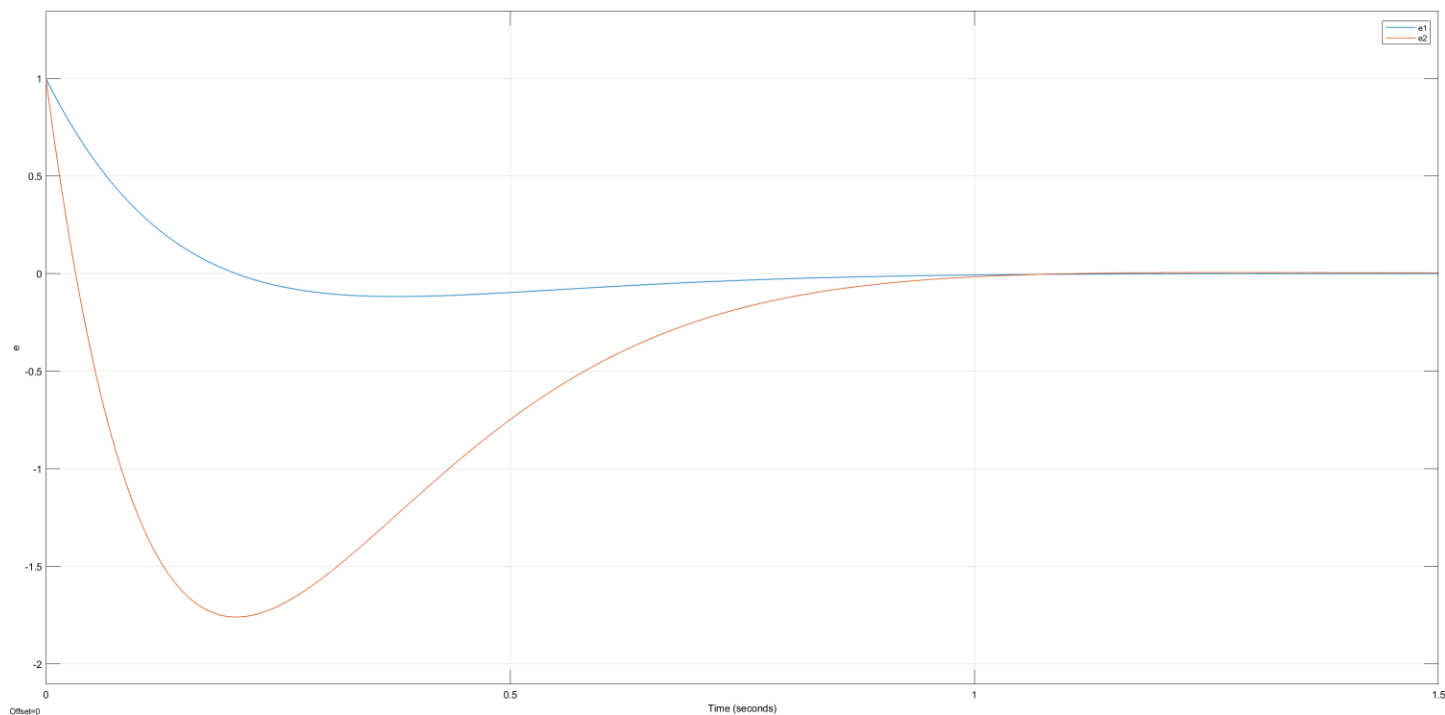


Рисунок 25: графики ошибки наблюдателя с ограничением на жесткость

Как мы видим, ошибки стали меньше по модулю, но время сходимости увеличилось

График  $L^T e(t)$ :

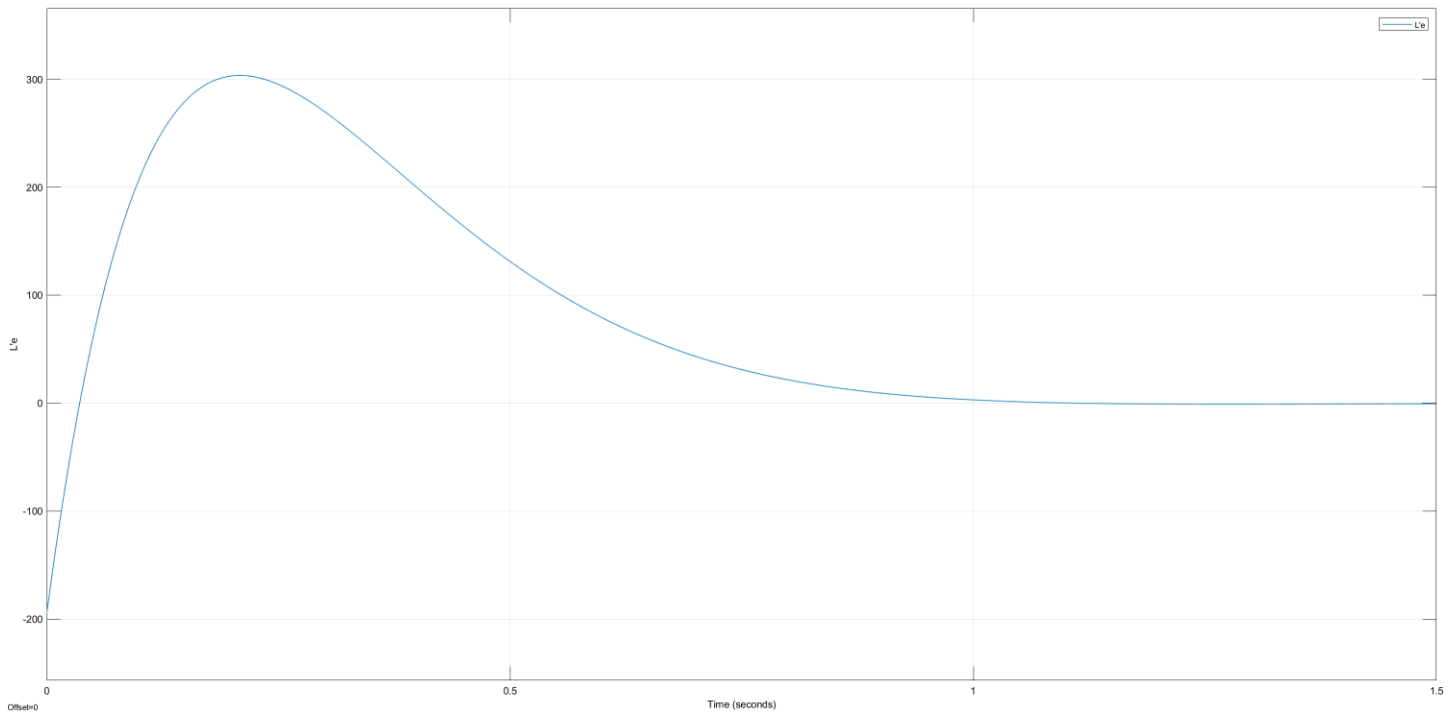


Рисунок 26: график  $L^T e(t)$  с ограничением на жесткость

Введенное ограничение соблюдается. Норма значения графика в любой момент времени действительно  $\leq 600$ .

Наблюдатель с минимизацией жесткости

Минимизируем ограничение жесткости

Программный код:

```
% plant parameters
A = [0 1; 0 0];
C = [1 0];

% initial conditions
x0 = [1; 0];
x0_obs = [0; -1];
e0 = x0 - x0_obs;

% desired decay rate
alpha = 5;

% solving LMI
cvx_begin sdp
    variable Q(2,2)
    variable Y(2,1)
    variable mumu
    minimize mumu
    Q > 0.00001*eye(2);
    A'*Q + Q*A + 2*alpha*Q + C'*Y' + Y*C <= 0;
    [Q e0; e0' 1] > 0;
    [Q Y; Y' mumu] > 0;
cvx_end

% finding observer matrix
L = inv(Q)*Y;
mu = sqrt(mumu);
```

$$L = \begin{bmatrix} -10 \\ -34.0434 \end{bmatrix}, \quad \sigma(A + LC) = \{-5 \pm 3.7475i\}, \quad \phi = 78.3$$

Степень сходимости наблюдателя теперь достигла желаемой, а значит минимизация ограничения успешна.

График ошибки:

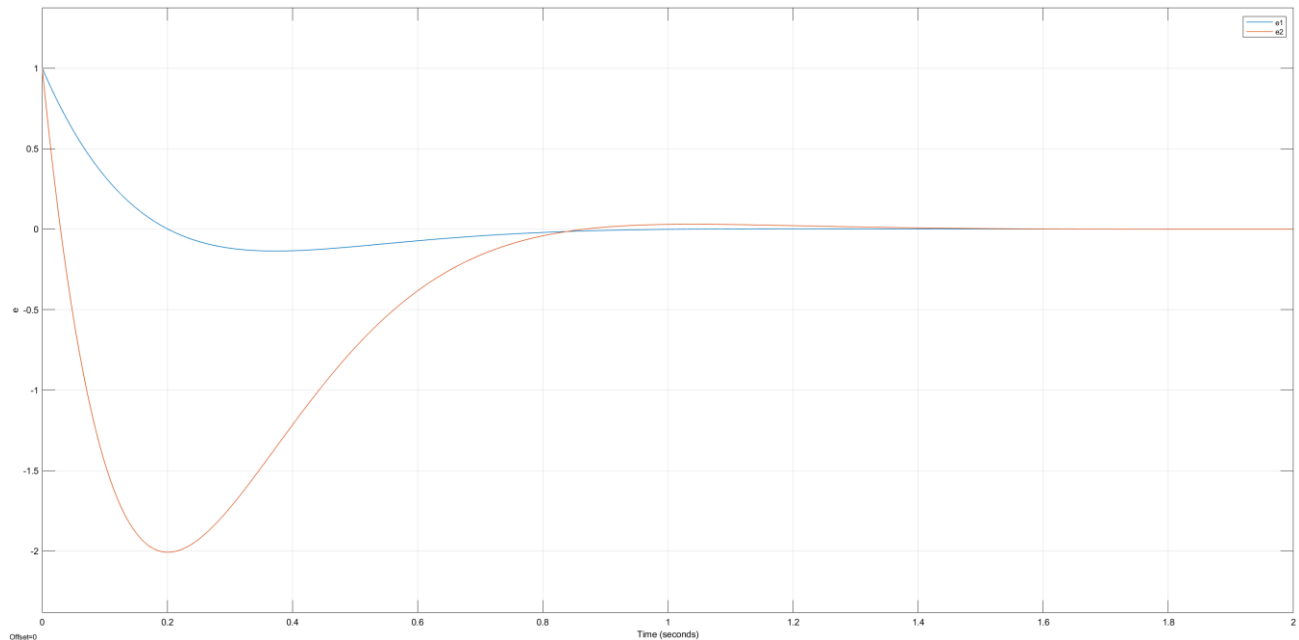


Рисунок 27: график ошибки при минимизации ограничения

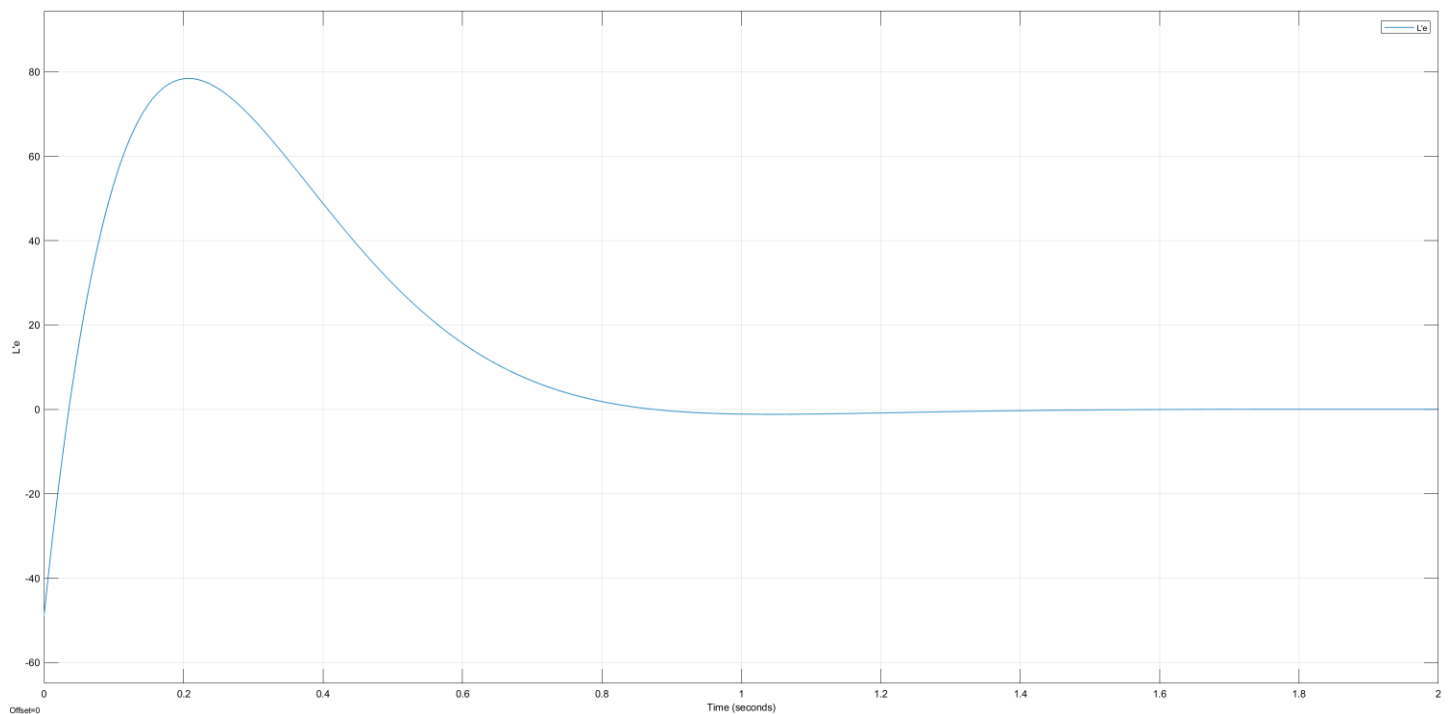


Рисунок 28: график  $L^T e(t)$  при минимизации ограничения

Функция не превышает минимизированного ограничения  $\phi = 78.3$ .

Итого, мы ввели успешно реализовали ограничение на жесткость наблюдателя. Если ограничиваемое значение при синтезе регулятора  $\|u(t)\| = \|Kx(t)\|$  означало количество управления, необходимое для приведения системы в нужное нам положение. То в случае наблюдателя значение  $\|v(t)\| = \|L^T e(t)\|$  по смыслу означает количество наблюдения, необходимое для того, чтобы полностью знать все состояние системы.

## Выводы

В данной лабораторной работе были построены регуляторы и наблюдатели с заданной степенью сходимости с помощью линейных матричных неравенств, была исследована зависимость степени сходимости и матриц наблюдателя и регулятора, и собственных чисел матриц  $A + BK$  и  $A + LC$ . Также были построены регулятор с минимизированным ограничением на входное управление и наблюдатель с минимизированной жесткостью. В конце реализована система с регулятором и наблюдателем с определенными степенями сходимости.